

THEORY OF INFLUENCE EQUATIONS.

(第 20 卷 第 9 號所載)

准 員 工 學 士 橫 道 英 雄

第 20 卷第 9 號の御厨氏の論文は、先に本誌第 18 卷第 9 號に於て、その原理及び式の説明に就き述べられしものゝ應用例題であります。筆者は偶々この種の研究に就きましては多大の興味を有して居り、又最近剛節構造と云ふ事が大いに利用研究され、土木方面に取りても重要な課題たらんとして居る譯でありますから、茲に些か氣付いた點を述べ討議の一端ともなしたいと考へます。

1. 概説 著者の説明せる影響方程式は、撓角撓度法と同様の理論に基いたものと見られます。但し未知量の撰び方及びその符号に多少の差異は認められますが、質的には同じであります。而して著者は撓角撓度式中に未知量として含まるゝ撓角 m 及び部材の廻轉角 φ を消去して、或る數の彎曲率と不静定反力を未知量として含みその係数も比較的規則あるものたらしめたる影響方程式を説明せられて居りますが、之は亦 3 曲能率式又は 4 曲能率式の理論を用ふる事に依りて、比較的簡単に求め得られるものであります。就中今回著者の例題されし固定拱に關しては、後述の如く假りに未知量として著者案の M_L , H_L 及び V_L を採用するに、 V_L は直ちに求め得られるのであります。蓋し著者の解法は未知量を撓角及び撓度に撰ばずして直接求めんとする應力に撰んだのでありますから、3 曲能率式又は 4 曲能率式の理論と軌を同ふするものと見られぬ事はないであります。而して後者に於ては撓角及び撓度の 2 種の未知量の中、既に 1 個は消去されてあるのですから、之を用ひて所要の式を導く方がむしろ前者即ち著者の説明法よりも勝つて居るものと云はれる可きであります。次に考へられる事は、かく未知量として應力を直接に撰ぶ結果、その解法は比較的簡単な架構に對してのみ有利となし得るものであり乍ら而も未だ一般化されないのはかゝる理由の存してあるからと存じます。假に一般架構の解法殊に多層多徑間架構に就いては撓角撓度法の機械的作表法に若くはないと思はれるのであつて、殊に筆者は山形、梯形及び弧形の特殊架構に對してその應用擴張をなしたのでありますから、我田引水の詠りは免かれぬも機械的作表法を以て剛節架構の最も一般的な解法と見做されるのであります。併し乍ら無論比較的簡単な特殊の場合に就いては 3 曲能率式等の理論に依りて應力を直接未知量とするも一良法であります、筆者もこの事に就いては他日詳述の機を得たいと考へて居ります。

2. 著者の固定拱の例題に就きて 著者は原著 Fig. 1 に示されし固定拱に就き懇切な例題を示され以て實驗値及び彈性理論に依る計算値と著者の影響方程式に依るものと比較し、その實用可能の程度に就き力説されたのでありますか、この例題を見るに當り筆者の最初の感想は何であつたかと申しますとその數値計算の余りにも細かすぎる事であります。原著 Table 1 に於ては最大 6 桁、同じく Table 6 に於いては實に 8 桁の數値を取り扱つて居るのですが、果してかく迄の精度が必要であつたのでせうか。Table 10 の成績表を見ると之は最大 5 桁の數値であり、而も著者の値は 50% にも及ぶ誤差を有してゐるのであります。數値の計算に際して動もすれば徒らに桁数を多くして數字の羅列を喜ぶ傾向は從來の積弊と見られるものであります。

さて、本例題に於て著者は先づ影響方程式として Table 2 を示して居りますが、之と同様の式を筆者は3曲能率式の理論に依りて求めて見ます。

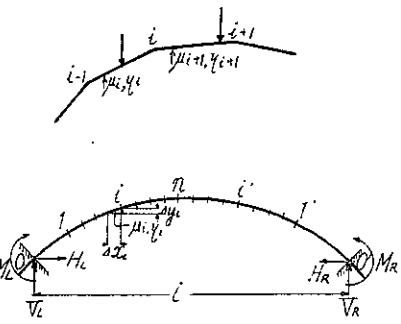
圖の如く相連續せる 2 部材 i 及 $i+1$ の節點を $i-1, i, i+1$ とすれば 3 曲能率式は一般に次の形にて與へられる。

$$\begin{aligned} \mu_i - \mu_{i+1} &= \eta_i M_{i-1} + 2(\eta_i + \eta_{i+1}) M_i \\ &\quad + \eta_{i+1} M_{i+1} + A_{i,i-1} + A_{i,i+1} \dots \dots \dots \quad (1) \end{aligned}$$

但し μ_i = 部材 i の迴轉角の $6E$ 倍

$$\eta_i = \frac{l_i}{l_i} = \text{剛率の逆数}$$

$$A_{i,i-1} = \eta_i (2C_{i,i-1} + C_{i-1,i}) = \text{荷重項}$$



であつて、 μ は時計回りに依り生ずるものを正量とし、 M_i は拱の内側に張力を生ぜしむるものを正量とし、又荷重項の内容たる C は普通用ひられる撓角撓度式の荷重項であつて表示されてあるものである。

次に拱を假りに $2n$ 等分して左右の同位の點を i, i' の如く命名すれば (1) 式より次の $2n+1$ 個の式を得。

$$\left. \begin{aligned} -\mu_1 &= 2\eta_1 M_L + \eta_1 M_1 \\ \dots \dots \dots \\ \mu_i - \mu_{i+1} &= \eta_i M_{i-1} + 2(\eta_i + \eta_{i+1}) M_i + \eta_{i+1} M_{i+1} \\ \dots \dots \dots \\ \mu_n - \mu_{n'} &= \eta_n M_{n-1} + 2(\eta_n + \eta_{n'}) M_n + \eta_{n'} M_{n-1}' \\ \dots \dots \dots \\ \mu_{i+1}' - \mu_i' &= \eta_{i+1} M_{i+1}' + 2(\eta_{i+1}' + \eta_i') M_i' + \eta_i M_{i-1}' \\ \dots \dots \dots \\ \mu_i' &= \eta_i M_i' + 2\eta_i' M_R \end{aligned} \right\} \dots \dots \dots \quad (2)$$

但し荷重は各分格點に集中するものと見做して荷重項を省略した。上の (2) 式なる $2n+1$ 個の式の邊々相加する時は左邊は零となり右邊は次の如くなるべし。但し断面左右対稱にして $\eta_i = \eta_{i'}$ とする。

$$\eta_i (M_L + M_R) + \sum_{i=1}^n (\eta_i + \eta_{i+1}) (M_i + M_i') = 0 \quad \dots \dots \dots \quad (3)$$

次に撓度 μ の間には下の如き關係式あるべし。^{*}

$$\sum 4x_i \mu_i - 6E \sum d_{li} \frac{4y_i}{l_i} = 0$$

$$\sum 4y_i \mu_i + 6E \sum d_{li} \frac{4x_i}{l_i} = 0$$

上式中 d_{li} は部材 i の材長 l_i の變化であつて伸びを正とし、 $4x_i$ 及び $4y_i$ はその部材の材長 l_i の水平及び垂直射影長とします。故に右半分に於ては $4y_i$ は負符号を取る事になります。又直壓力に依りて全長に對し $4H$ の壓縮ありとし支端の相互垂直變位を無視する時は

$$\sum 4x_i \mu_i + \sum 4x_{i'} \mu_{i'} = 0 \quad \dots \dots \dots \quad (4)$$

$$\sum 4y_i \mu_i - \sum 4y_{i'} \mu_{i'} = 6E 4H \quad \dots \dots \dots \quad (5)$$

* 橫道英雄：“特殊架構に對する機械的作表法の應用擴張”建築雑誌第 47 輯 571 號、609 頁

$$\eta_i \equiv 2EA \text{ or } 2EB \text{ or } \dots = \frac{l_i}{I_i},$$

$$\Delta y_i \equiv y_i, \quad \Delta x_i \equiv x_i,$$

$$y_i \equiv \sum^i y_i, \quad x_i \equiv \sum^i x_i$$

と云ふ具合であります。

次に (11) 式の分母を計算します。下表の中で * 印あるは原著より四捨五入して用ひたものであります。

i	η_i	Δy_i	y_i	\bar{a}_i	$x_i' - x_i$	$\bar{a}_i(x_i' - x_i)$
0	0*	0*	0	3.900	324''	1 264
1	0.0150	20.87''	20.87''	7.523	288	2 166
2	0.0164	16.15	37.02	7.288	252	1 887
3	0.0184	12.77	49.77	7.100	216	1 584
4	0.0212	10.11	59.88	6.878	180	1 288
5	0.0249	7.87	67.75	6.515	144	988
6	0.0298	5.90	73.65	5.892	108	636
7	0.0364	4.11	77.76	4.848	72	349
8	0.0456	2.43	80.19	2.411	36	87
9	0.0587	0.80	80.99	0.587	0	0
						$\sum \bar{a}_i(x_i' - x_i) = 10 049$

次に分子を計算しますに原著の如く右半分の 4 點に荷重ある場合に就いて求める。從て M_{0i} は零である。括弧内の數字は原著の記號に依るものであります。

點	點 8'(10) $\cap P=1$	點 6'(12) $\cap P=1$	點 4'(14) $\cap P=1$	點 2'(16) $\cap P=1$
	$M_{0i'} - M_{0i} \bar{a}_i(M_{0i'} - M_{0i})$			
0'(18)	144	562	108	421
1'(17)	126	943	90	677
2'(16)	108	787	72	525
3'(15)	90	639	54	383
4'(14)	72	495	36	248
5'(13)	54	352	18	117
6'(12)	36	212	0	0
7'(11)	18	87		
8'(10)	0	0		
				$\Sigma = 4 082$
				$\Sigma = 2 371$
				$\Sigma = 1 076$

從て V_L の影響式は次の如くなりませう。

荷重點	8'(10)	6'(12)	4'(14)	2'(16)
筆者値 V_L	0.4062	0.2859	0.1071	0.0265
著者値 V_L	0.40541	0.23559	0.10708	0.02743

筆者値と著者値の間に存する多少の誤差は全く計算上の精度に起因せるにすぎない。

3. 結論 之を要するに著者が架構一般に対する解法の捷徑として提案せられし影響方程式は 3 曲能率式の理論の如く、未知量として直接之を求めんとする應力に撰ぶものであるを以て、一面に於ては甚だ便利であります。

すが又他の一面に於ては、架構條件が複雑となるに従ひ未知量の増加となり又その消去も複雑となる爲その都度工夫を要する事も生じ延いてはその應用の一般性を失せしむる事となり易いのであります。之はこの種の解法の短所でありまして今後の研究を要する問題であります。

併し乍ら建築架構と異なり土木方面に於て實際に遭遇するものは比較的簡単な架構が多いのでありますから著者案を用ひて利ある場合もありませう。只惜しむらくはかかる簡単な架構に對しては從來相當研究されてあり、從つて便利な解法が多いのでありますから、之等を排して著者案を賞用すると云ふ事は相當困難な場合もあるのであります。

例へば arch や ring 等に關しましても、その目的が單に解くと云ふ丈けにあるならば色々な方法もあるのであつて、殊に上述の如く 3 曲能率式を用ひて尙一層簡単に解き得る事もあり、その中いづれが果して最も早く、簡単に、而も精確な眞値を與へるかと云ふ事になりますと相當考へを要するのであります。著者案は拱を數多の小部分に分ちて之を剛節架構と假定するため、先に會員庄野氏の討議の中に於て指摘されし如くその變形に或る癖を與へる事になり眞値を得る事が出來ないのであつて、計算過程の簡易さに大差なしとすれば普通法に先んぜられる處なしとしないのであります。

擱筆するに當り拙文中或は禮を失する所あらば御海容を乞ひ、不明の點に對し宜敷御啓發を希ふ次第であります。